*К статье Вишнев В.С., Дьяконова А.Г., Астафьев П.Ф., Сурина О.В.* – «Об одной особенности вертикальной составляющей геомагнитных вариаций и перспективе ее использования в электроразведке»

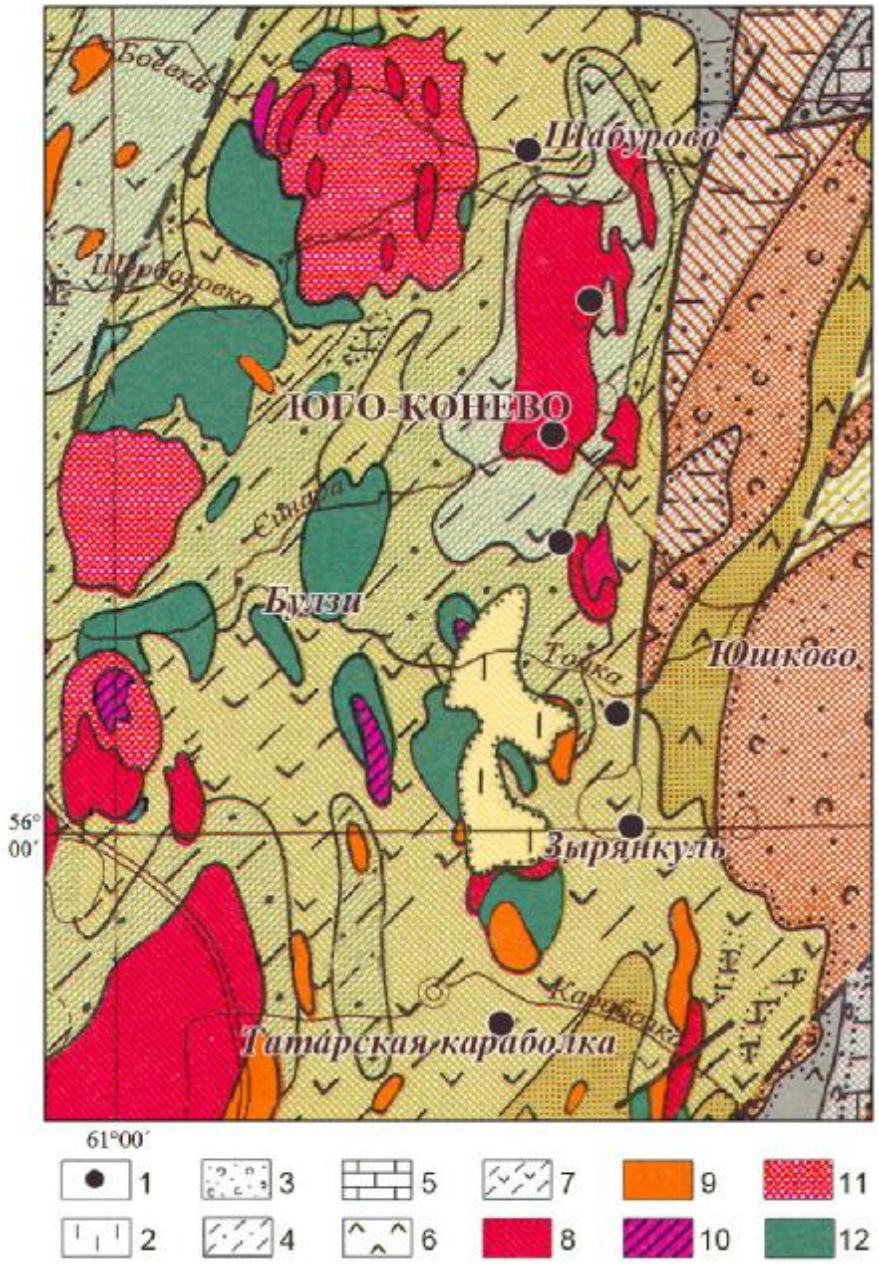


**Рис. 3.** Фрагмент схематической геологической карты до мезозойского складчатого фундамента Урала с расположением пунктов электромагнитных исследований:
1 – пункты наблюдений; 2 – опоки, трепелы; 3 – осадочно-вулканогенные толщи: туфы разного состава, туфопесчаники, кремнистые и глинистые сланцы; 4 – филлито-кварцитовые толщи: углисто-кремнисто-глинистые парасланцы, кварцито-песчаники, зеленые сланцы; 5 – известняки; 6 – базальты, диабазы, андезитобазальтовые, базальтовые порфириты, их туфы, туфобрекчии, туффиты, туфопесчаники; 7 – зеленые сланцы; 8 – граниты; 9 – плагиограниты; 10 – гранодиориты; 11 – граносиениты, граносиенито-диориты; 12 – габбро-диабазы, интрузивные диабазы (Геологическая карта … , 1979)

*К статье Федоровой Н.В.* – «Картирование базит-ультрабазитовых массивов в верхних горизонтах фундамента приполярного сектора Евразии»

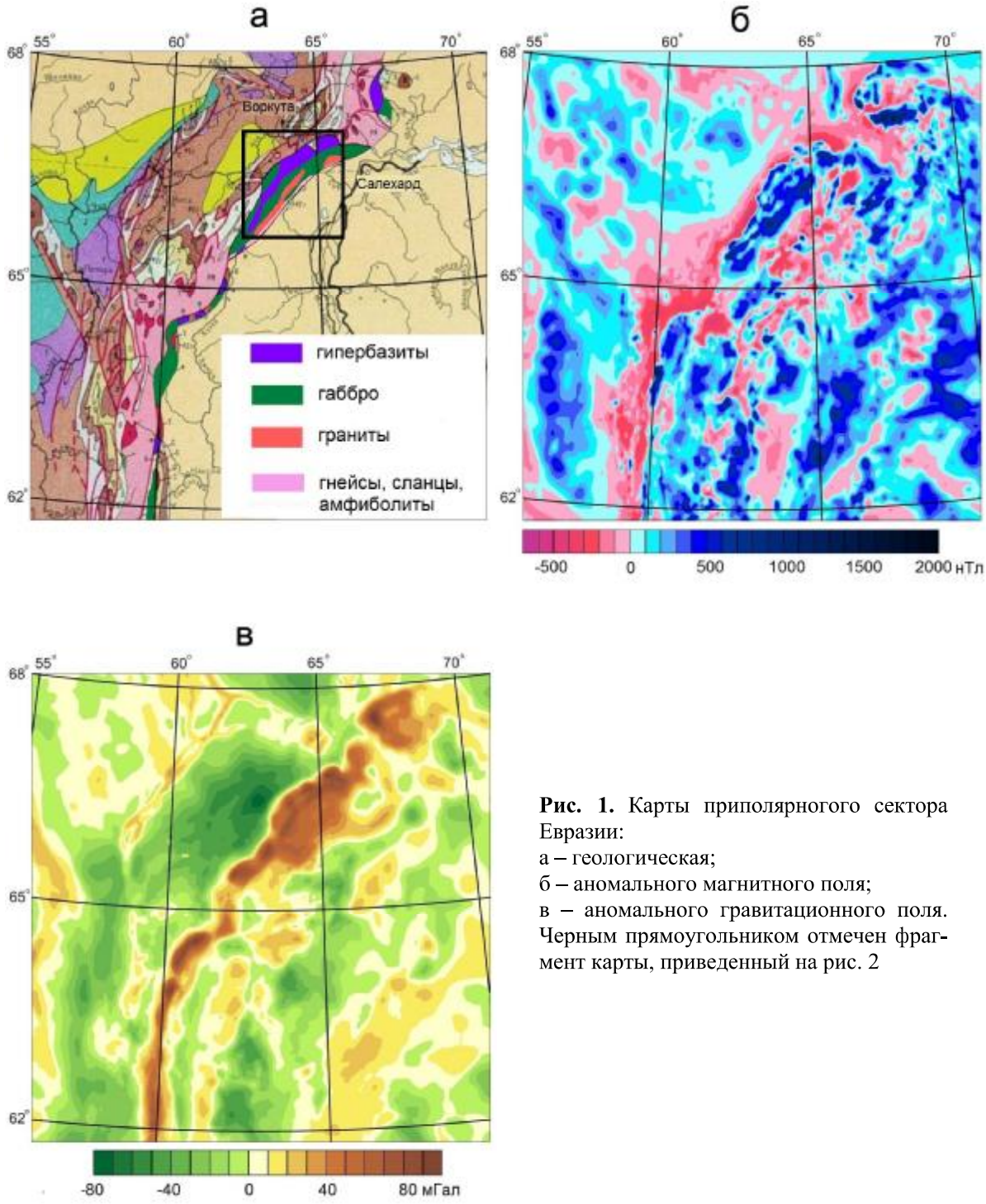


**Рис. 1.** Карты приполярногого сектора Евразии:
а – геологическая;
б – аномального магнитного поля;
в – аномального гравитационного поля. Черным прямоугольником отмечен фрагмент карты, приведенный на рис. 2

*К статье Федоровой Н.В.* – «Картирование базит-ультрабазитовых массивов в верхних горизонтах фундамента приполярного сектора Евразии»

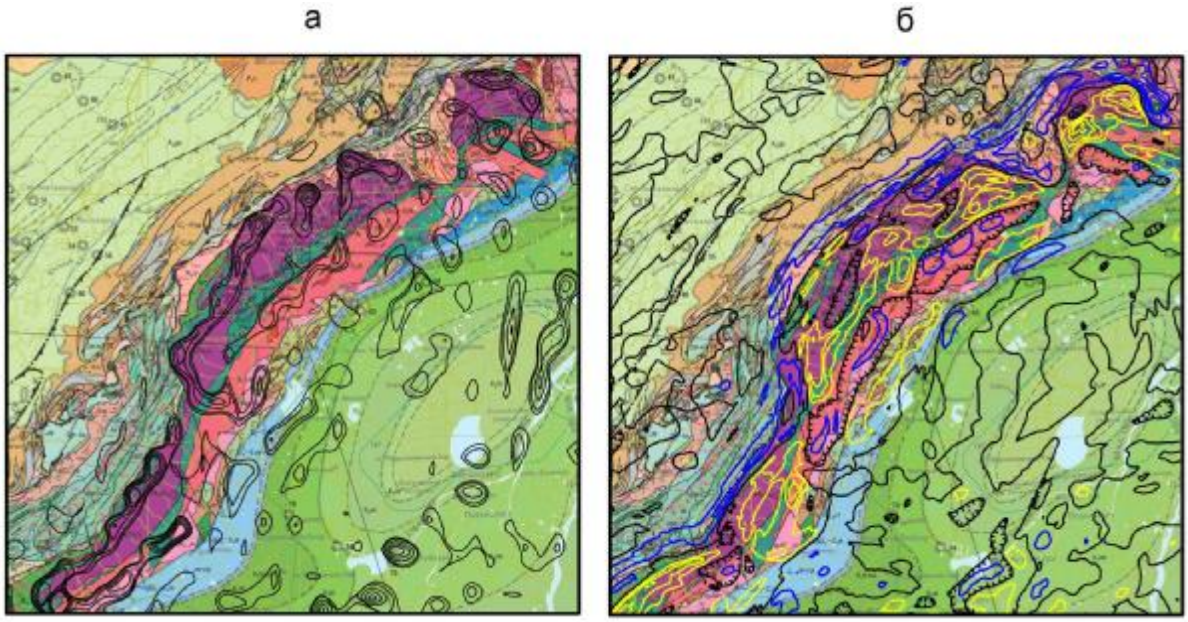


**Рис. 2.** Фрагмент геологической карты Полярного Урала и локальные аномалии:
а – магнитного поля: б – гравитационного поля.
Изолинии магнитных положительных аномалий построены через 50 нТл и показаны черным цветом. Изолинии гравитационных аномалий построены через 3 мГал и показаны цветами: положительные – желтым, отрицательные – синим, нулевая – черным; у замкнутых нулевых изолиний штрихи нанесены со стороны отрицательных аномалий

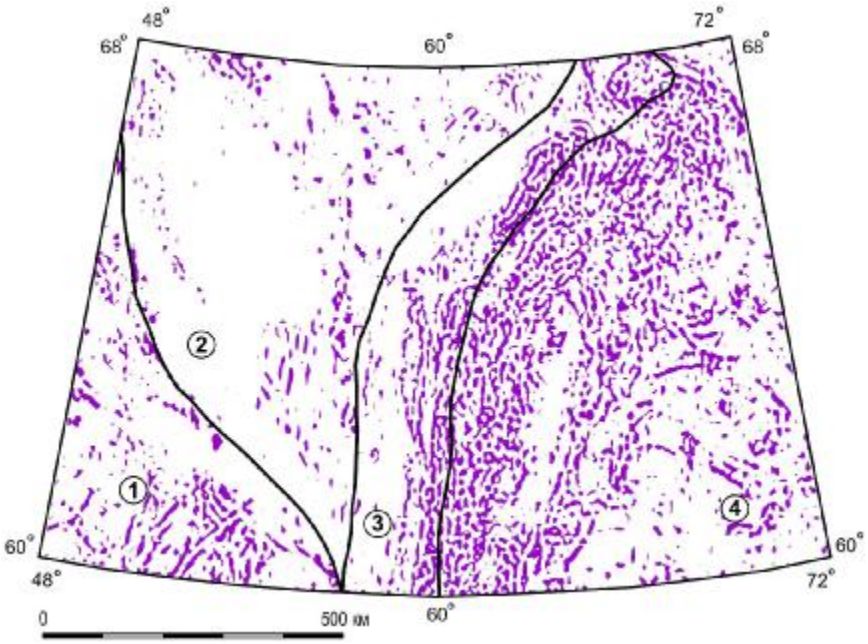


**Рис. 3.** Прогнозная карта базит-ультрабазитовых массивов, расположенных под осадочными породами в верхней части фундамента до глубины 5 км на территории приполярного сектора Евразии. Тектонические структуры: 1 – Восточно-Европейская платформа, 2 – Тимано-Печорская плита, 3 – Уральская складчатая система, 4 – Западно-Сибирская плита

*К статье Федорова О.И., Давыдов В.А., Байдиков С.В., Горшков В.Ю., Маликов А.В.* – «Мониторинг состояния грунтовых плотин геофизическими методами»

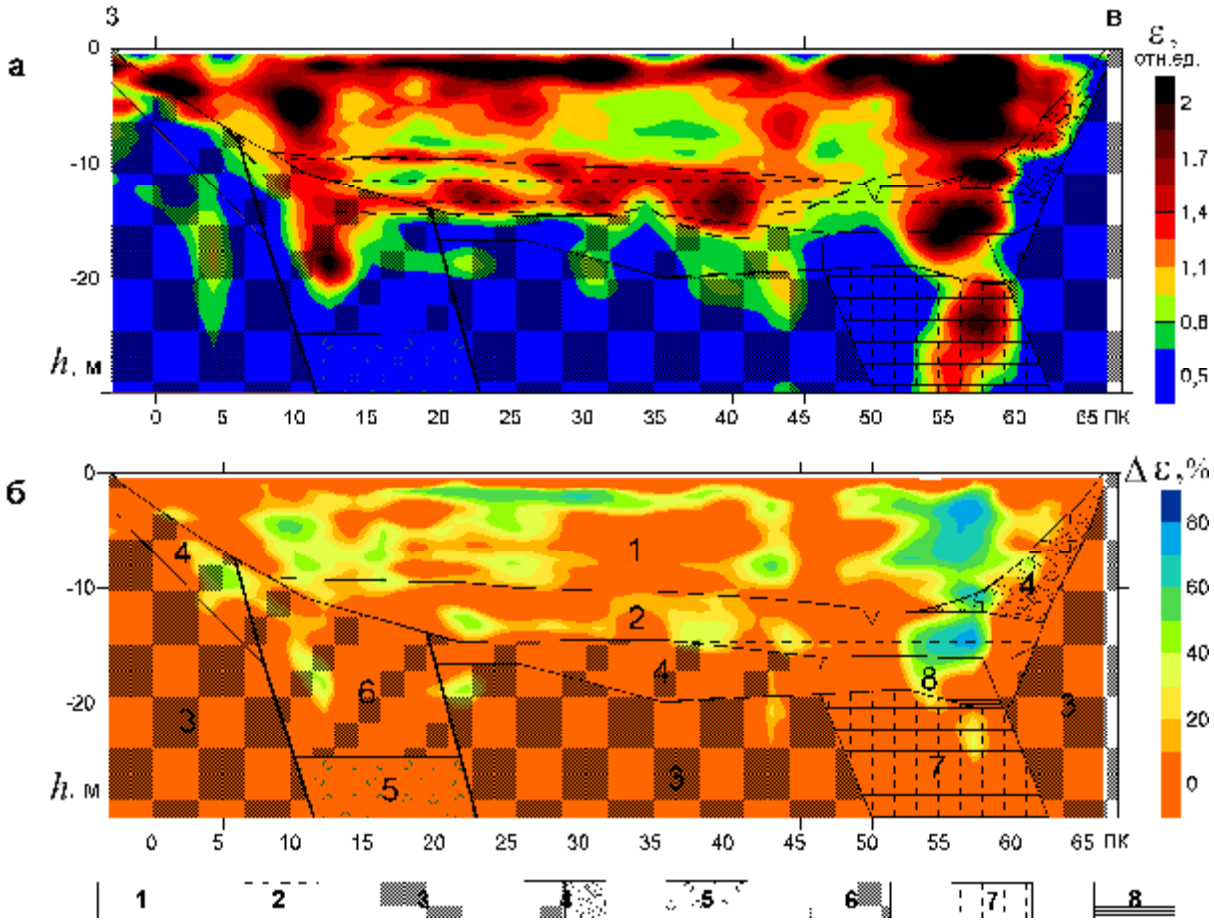


**Рис. 1.** Микросейсмический мониторинг грунтовой плотины:
а) разрез спектральных *V/H*-отношений (ε) за 2013 г.; б) изменение спектральных отношений за период с 2013 по 2015 годы.
Условные обозначения для геологической основы: 1 – тело плотины; 2 – аллювиальные отложения; 3 – порфириты; 4 – элювиальные и делювиальные суглинки коры выветривания порфиритов; 5 – туфы; 6 – кора выветривания туфов; 7 – известняки; 8 – глины.
Пунктирной линией на рис. 1а показана граница раздела, выделенная по резонансу поперечных волн

*К статье Федорова О.И., Давыдов В.А., Байдиков С.В., Горшков В.Ю., Маликов А.В.* – «Мониторинг состояния грунтовых плотин геофизическими методами»

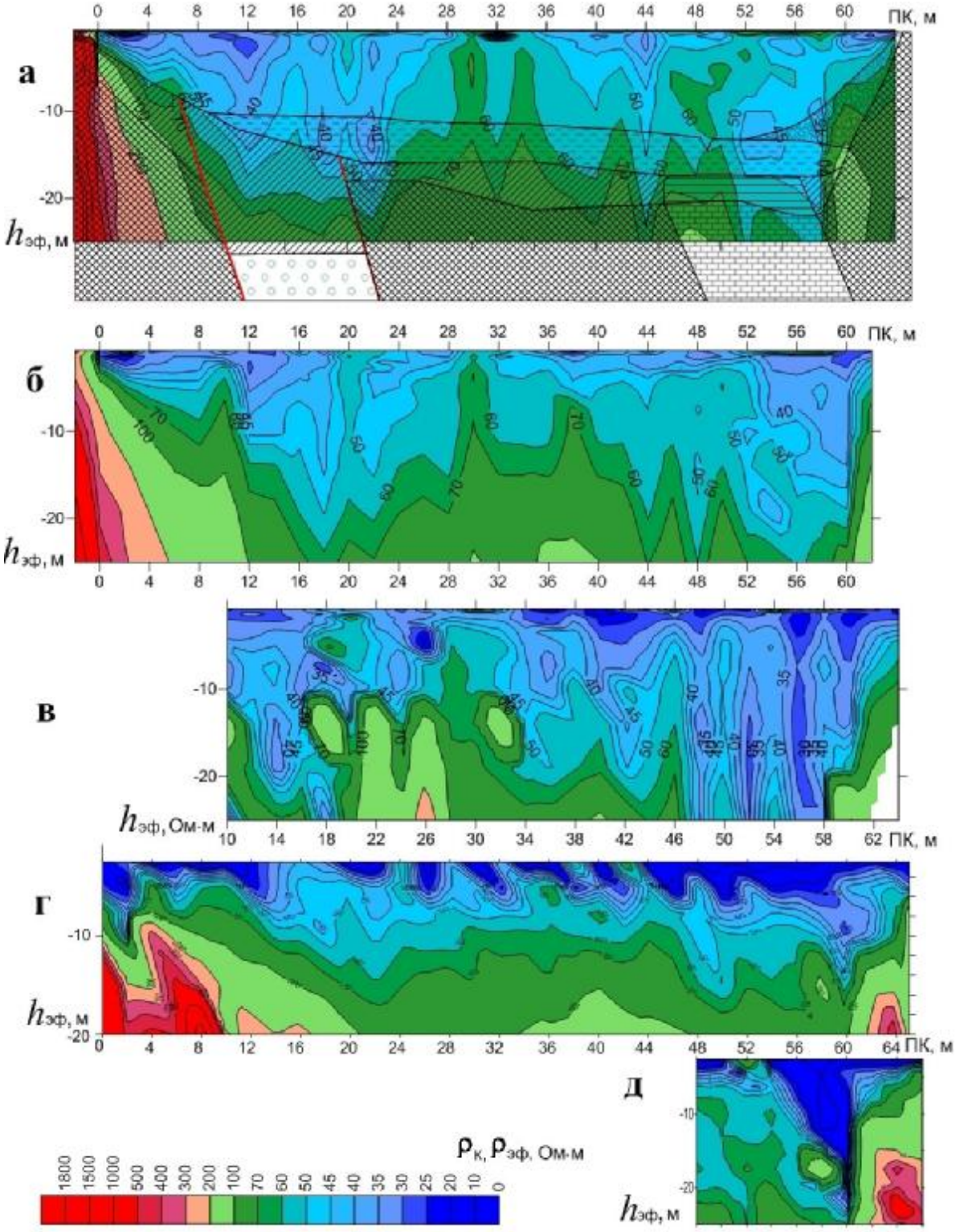


**Рис. 2.** Геоэлектрический мониторинг плотины: а–в – разрезы кажущихся сопротивлений, полученные методом ВЭЗ за трехлетний цикл наблюдений (2013–2015 гг.); г, д – разрезы эффективных сопротивлений, полученные методом ДИЗ за 2014–2015 гг.

*К статье Федорова О.И., Давыдов В.А., Байдиков С.В., Горшков В.Ю., Маликов А.В.* – «Мониторинг состояния грунтовых плотин геофизическими методами»

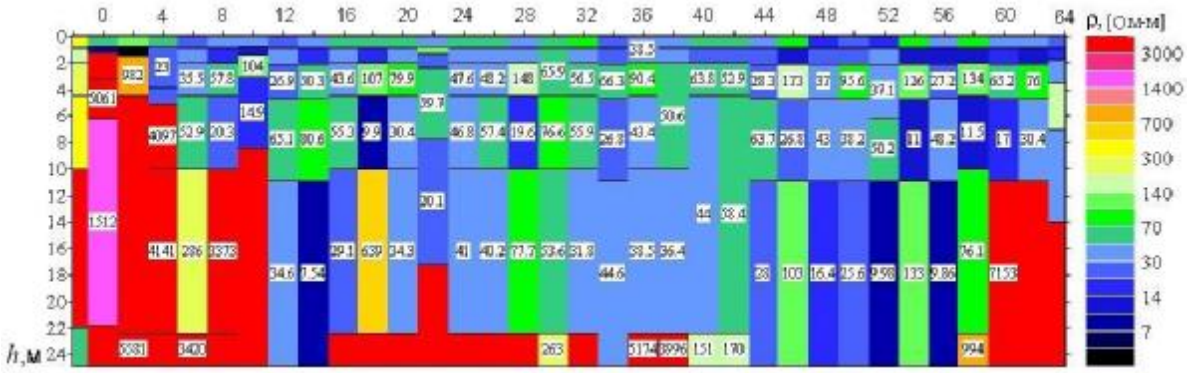


**Рис. 3.** Геоэлектрический разрез, построенный по результатам трехлетних наблюдений методом ВЭЗ. Числа на разрезе – значения удельных сопротивлений в слоях в Ом·м

*К статье Ратушняк А.Н., Байдиков С.В., Теплухин В.К.* – «Индукционный каротаж скважин с учетом влияния проводящей промывочной жидкости»

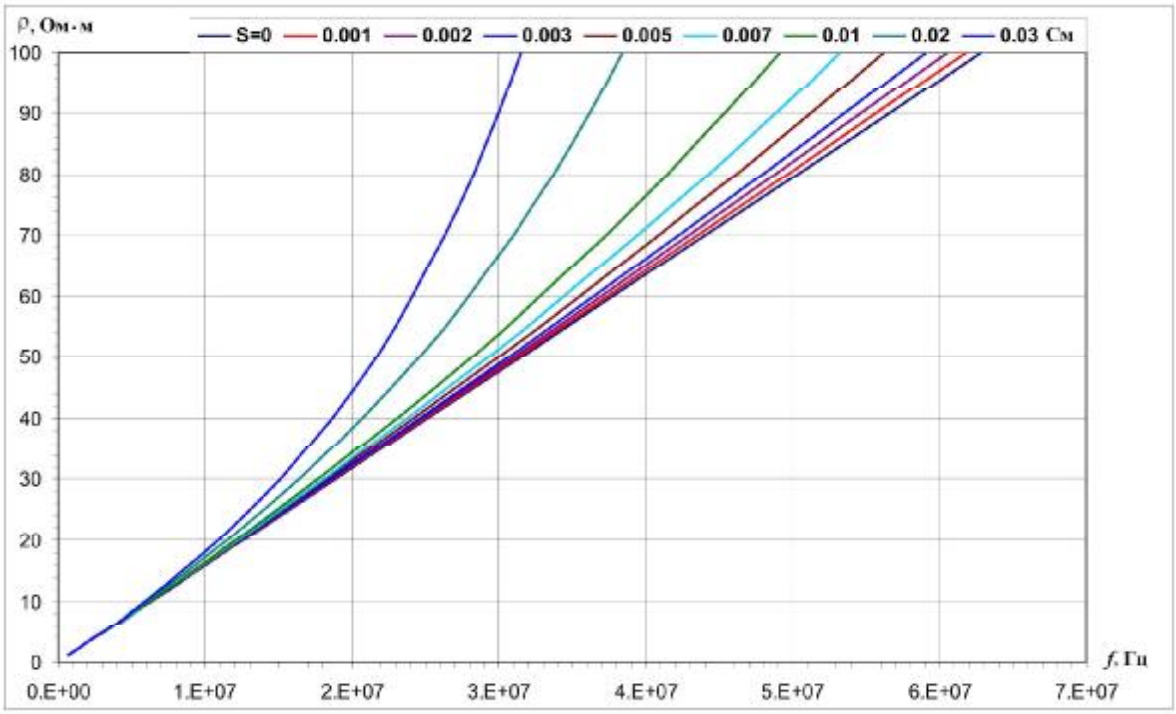


**Рис. 5.** Палетка определения ρ среды [Ом·м] по частоте *f*, соответствующей экстремуму Im $B_z$ для зонда с моментом $M_z^*$ = 1 А·м$^2$ на разносе $L$ = 1 м. Шифр кривых – $S$ [См]